

# 光的衍射

## 衍射现象

波在传播过程中遇到障碍物，能够绕过障碍物的边缘前进。这种偏离直线传播的现象成文衍射现象。

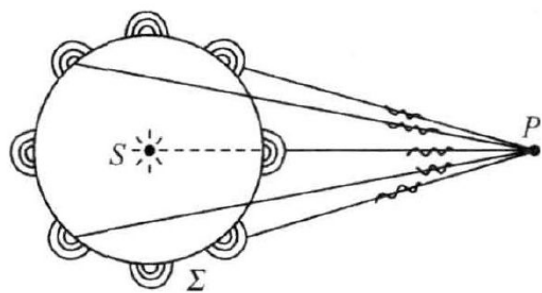
波长越大，障碍物越小，衍射越明显。

## 惠更斯-菲涅耳原理

波前上的每个面元可以看作次波源，它们向四周发射次波；波场中任一场点的扰动，是所有次波源所贡献的次级扰动的相干叠加。

设波前  $\Sigma$  上任一面元  $dS$  对场点  $P$  贡献的刺激扰动复振幅为  $d\tilde{U}(P)$ ，则按惠更斯-菲涅耳原理，总扰动  $\tilde{U}(P)$  应表达为：

$$\tilde{U}(P) = \iint_{(\Sigma)} d\tilde{U}(P)$$

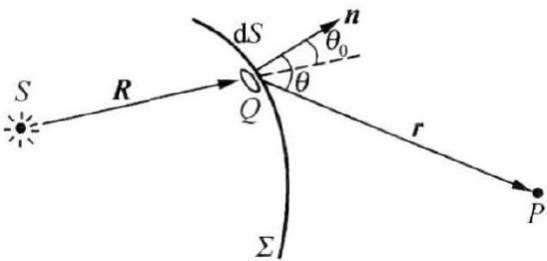


(b)

## 菲涅耳衍射积分式

决定  $d\tilde{U}(P)$  的因素：

- $d\tilde{U}(P) \propto dS$  波前上作为次波源的微分面元
- $\propto \tilde{U}_0(Q)$  次波源自身的复振幅
- $\propto \frac{1}{r} e^{ikr}$  次波源发射球面波到达场点
- $\propto f(\theta_0, \theta)$  倾斜因子用以表明次波面源的发射并非各向同性



综合以上因素， $\tilde{U}(P) = \iint_{(\Sigma)} d\tilde{U}(P)$  可以进一步表达为：

$$\tilde{U}(P) = K \iint_{(\Sigma)} f(\theta_0, \theta) \tilde{U}_0(Q) \frac{e^{ikr}}{r} dS$$

其中， $Q$  是次波源， $dS$  是波前  $\Sigma$  上  $Q$  点处的小面元， $\tilde{U}_0(Q)$  是  $Q$  点复振幅， $r$  是次波源  $Q$  到场点  $P$  的距离， $f(\theta_0, \theta)$  是倾斜因子。

## 基尔霍夫衍射积分式

基尔霍夫从定态波场的亥姆霍兹方程出发，利用矢量场论中的格林公式，在  $kr \gg 1$ ，即  $r \gg \lambda$  的条件下，导出了无源空间边值定解的表达式：

$$\tilde{U}(P) = \frac{-i}{\lambda} \iint_{(\Sigma)} \frac{1}{2} (\cos \theta_0 + \cos \theta) \tilde{U}_0(Q) \frac{e^{ikr}}{r} dS$$

凡是隔离实在的点光源与场点的任意闭合曲面，都可以作为衍射积分式中的积分面。

## 基尔霍夫边界条件

取闭合面：

$$(\Sigma) = \Sigma_0 + \Sigma_1 + \Sigma_2$$

其中， $\Sigma_0$  是光孔面， $\Sigma_1$  是光屏面， $\Sigma_2$  是无穷远半球面。

基尔霍夫边界条件认为：

- (1) 无穷远面  $\Sigma_2$  上的波前对场点的贡献为零
- (2) 光屏面  $\Sigma_1$  上波前函数为零，对场点也没有贡献
- (3) 只有光孔面  $\Sigma_0$  的波前对场点有贡献，且其波前函数  $\tilde{U}'_0(Q)$  等于无屏障时自由传播的光场  $\tilde{U}_0(Q)$ ，即  $\tilde{U}'_0(Q) = \tilde{U}_0(Q)$

基于此，基尔霍夫衍射积分式简化为：

$$\tilde{U}(P) = \frac{-i}{\lambda} \iint_{\Sigma_0} f(\theta_0, \theta) \tilde{U}_0(Q) \frac{1}{r} e^{ikr} dS$$

其中，倾斜因子为  $f(\theta_0, \theta) = \frac{1}{2}(\cos \theta_0 + \cos \theta)$

## 傍轴条件衍射积分式

傍轴条件下，

倾斜因子  $f(\theta_0, \theta) = \frac{1}{2}(\cos \theta_0 + \cos \theta) \approx 1$

球面次波函数  $\frac{1}{r} e^{ikr} \approx \frac{1}{r_0} e^{ikr}$

得到傍轴条件衍射积分公式：

$$\tilde{U}(P) = \frac{-i}{\lambda r_0} \iint_{\Sigma_0} \tilde{U}_0(Q) e^{ikr} dS$$

## 衍射系统及其分类——菲涅耳衍射与夫琅禾费衍射

### 菲涅耳衍射

光源到衍射屏、衍射屏到接收屏之间的距离均为有限远，或其中之一是有限远的场合；或者说，**球面波照明时在有限远处接收的是菲涅耳衍射场。**

### 夫琅禾费衍射

光源到衍射屏、衍射屏到接收屏的距离都是无限远；或者说，**平面波照明时在无穷远处接收的是夫琅禾费衍射场。**

## 衍射巴比涅原理

设  $\Sigma_a, \Sigma_b$  是一对透光率互补的屏面，现将它们作为衍射屏先后插置于衍射系统中，设  $\Sigma_a$  单独存在时形成的衍射场为  $\tilde{U}_a(P)$ ， $\Sigma_b$  单独存在时形成的衍射场为  $\tilde{U}_b(P)$ ，光波通行无阻时全波前  $\Sigma_0$  形成的自由光场为  $\tilde{U}_0(P)$ ，由于：

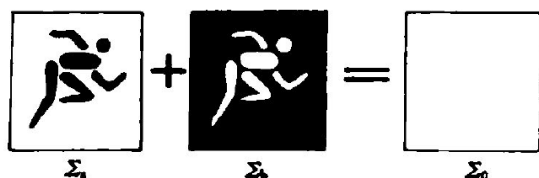
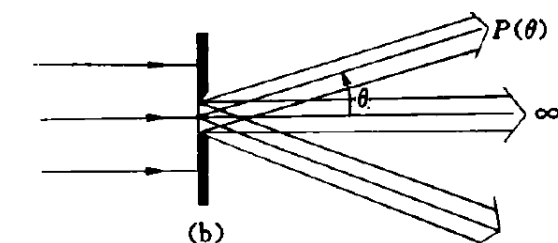


图 2.34 巴比涅原理中的一对互补屏

$$\Sigma_a + \Sigma_b = \Sigma_0$$

根据基尔霍夫衍射积分公式，结合二重积分的区域可加性，有：

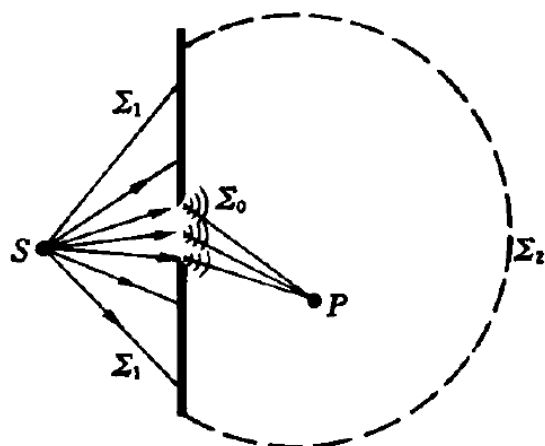
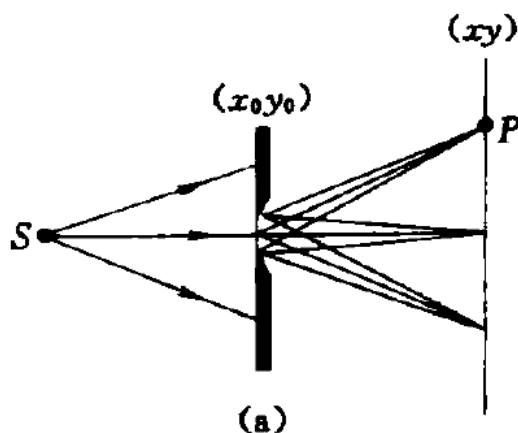


图 2.29 说明基尔霍夫边界条件



$$\begin{aligned}
 \tilde{U}_0(P) &= \frac{-i}{\lambda} \iint_{(\Sigma_0)} f(\theta_0, \theta) \tilde{U}_0(Q) \frac{1}{r} e^{ikr} dS \\
 &= \frac{-i}{\lambda} \iint_{(\Sigma_a) + (\Sigma_b)} f(\theta_0, \theta) \tilde{U}_0(Q) \frac{1}{r} e^{ikr} dS \\
 &= \frac{-i}{\lambda} \iint_{(\Sigma_a)} f(\theta_0, \theta) \tilde{U}_0(Q) \frac{1}{r} e^{ikr} dS + \frac{-i}{\lambda} \iint_{(\Sigma_b)} f(\theta_0, \theta) \tilde{U}_0(Q) \frac{1}{r} e^{ikr} dS \\
 &= \tilde{U}_a(P) + \tilde{U}_b(P)
 \end{aligned}$$

最终结果是：

$$\tilde{U}_0(P) = \tilde{U}_a(P) + \tilde{U}_b(P)$$

这一反映两个孔型互补屏产生的两个衍射场关系的方程，称为**巴比涅原理**(Babinet principle)

## 巴比涅原理的应用

由于自由光场是容易知道的，故我们可以由单缝衍射场，直接导出细丝衍射场；由圆孔衍射场，直接导出圆屏衍射场

## 圆孔和圆屏菲涅耳衍射

### 半波带法

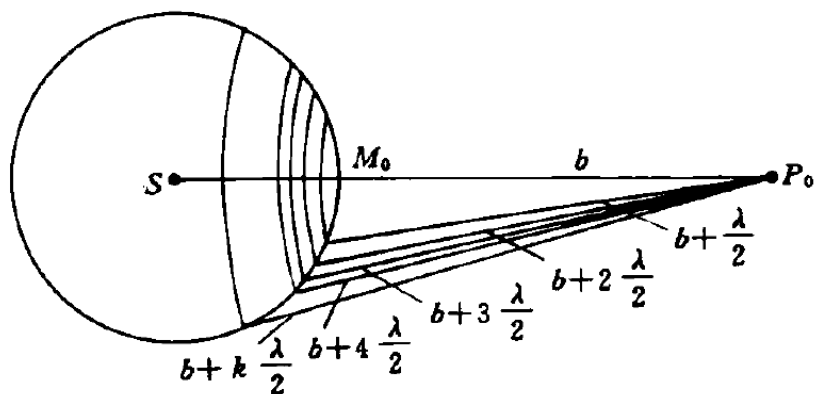


图 2.39 分割波前的半波带方法

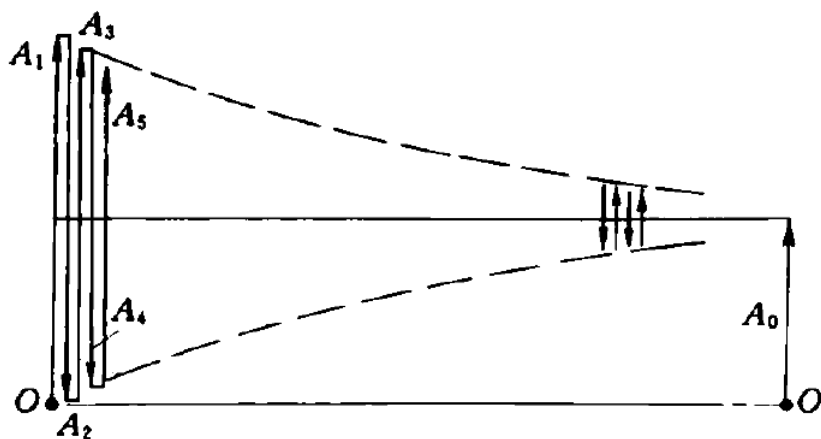


图 2.41 采取半波带方法时的相干叠加矢量图解

螺旋式曲线

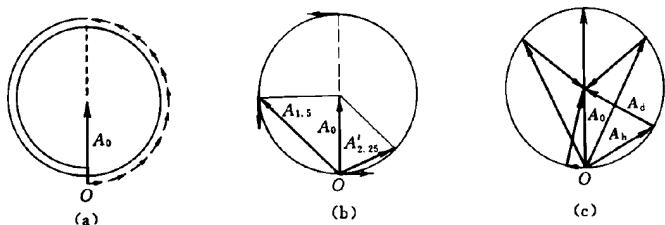
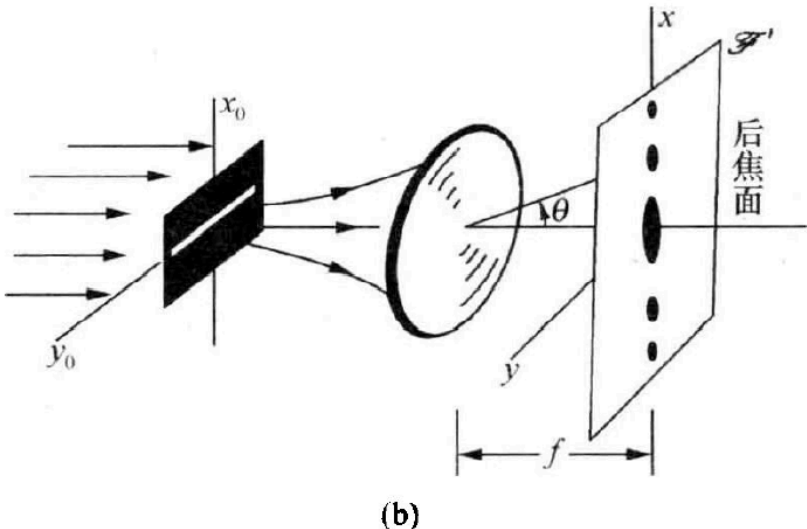


图 2.43 圆孔衍射轴上光场的矢量图解(a),用于圆孔包含非整数个半波带(b),用于说明圆屏衍射(c)  
效仿半波带方法，将每个半波带再细分为  $N$  个环带；每个细环带上的次波源对场点贡献的小扰动，可由一个小矢量表示；这  $N$  个小矢量长度相等，取向渐变以反映彼此间的相位差。这些小矢量头尾相接，形成半个正多边形，其极限过渡为半圆。于是，波前上全部次波源在轴上场点  $P_0$  贡献地扰动小矢量，形成一个半径及其缓慢收缩地螺旋式曲线。借此，可以求得  $k$  为非整数时的衍射强度  $I(P_0)$

单缝夫琅禾费衍射



平行光照射单缝，在透镜后焦面  $\mathcal{F}'$  上接收夫琅禾费衍射场。  
单狭缝的宽度  $\Delta x_0 = a \ll$  长度  $\Delta y_0 = b$ ，其衍射强度显著地沿  $x$  轴扩展。

矢量图解法

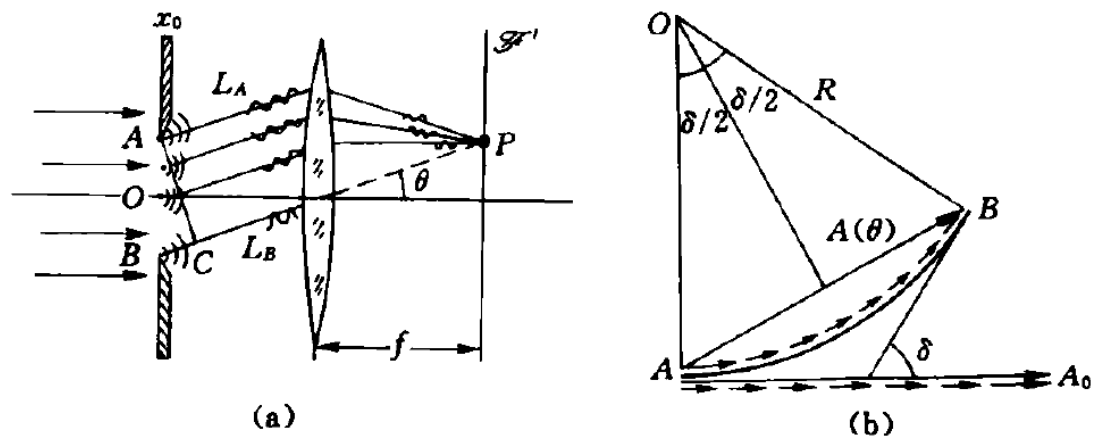


图 2.49 单缝夫琅禾费衍射。(a) 光程差分析,(b) 矢量图解法，

$\theta$  是衍射角，用于标定场点  $P$  的位置，现在分析后焦面上的衍射强度分布  $I(\theta)$ ：  
由透镜的性质，像空间后焦面上的一个点对应于物空间的一个方向，即从单缝出发衍射角为  $\theta$  的一系列次波线才能会聚在后焦面上的一点  $P$ ，发生相干叠加，从而决定了衍射强度。  
为此，将单缝的宽度  $\Delta x_0 = a$  继续细分（尽管已经很细了）为一系列更细的细缝，每个细缝作为次波源对场点贡献一个小扰动，用一个小矢量；这一系列小矢量长度相等，但取向依次变动，首位相接，形成一段圆弧。

这段圆弧  $\widehat{AB}$  起点  $A$  与终点  $B$  的两条切线的夹角  $\delta$  是确定的，因为它代表了  $A$  边与  $B$  边贡献的两个小扰动之间的相位差  $\delta_{AB}$ ，而相位差  $\delta_{AB}$  又取决于光程差。

光程差为：

$$\begin{aligned}\Delta &= L(BP) - L(AP) \\ &= n\overline{BC} \\ &= na \sin \theta\end{aligned}$$

由光程差和相位差的关系，可得：

$$\begin{aligned}\delta_{AB} &= \frac{2\pi}{\lambda_0} \Delta \\ &= \frac{2\pi}{\lambda} a \sin \theta\end{aligned}$$

$\widehat{AB} = A_0$ ,  $\angle AOB = \delta$ ,  $R = \frac{\widehat{AB}}{\delta}$ , 于是可以求得相干叠加的合成振幅：

$$\begin{aligned}A(\theta) &= 2R \sin \frac{\delta}{2} \\ &= 2 \cdot \frac{\widehat{AB}}{\delta} \cdot \sin \frac{\delta}{2} \\ &= A_0 \frac{\sin \frac{\delta}{2}}{(\frac{\delta}{2})}\end{aligned}$$

引入宗量：

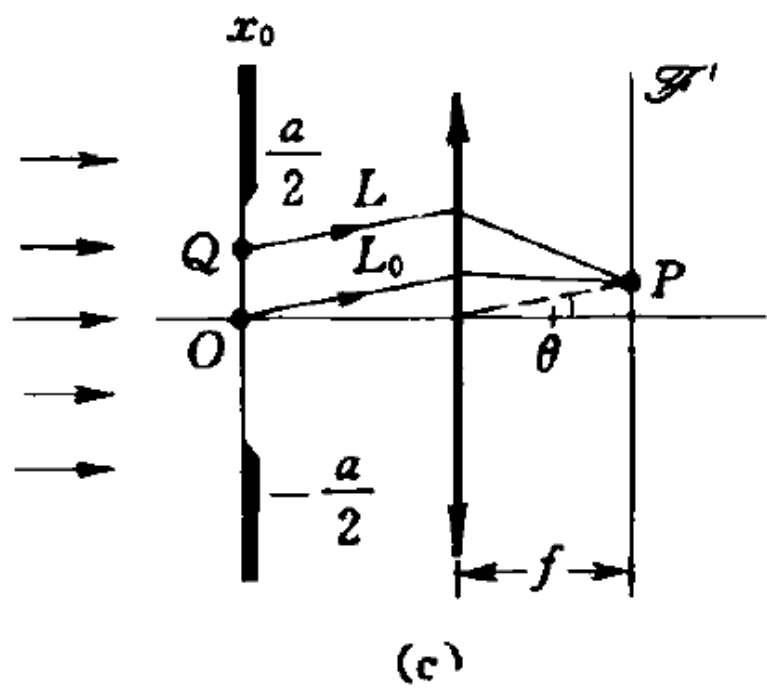
$$\alpha = \frac{\delta}{2} = \frac{\pi a \sin \theta}{\lambda}$$

得到单缝夫琅禾费衍射场的振幅分布和强度分布：

$$\begin{aligned}A(\theta) &= A_0 \frac{\sin \alpha}{\alpha}, \quad \alpha = \frac{\pi a \sin \theta}{\lambda} \\ I(\theta) &= I_0 \left( \frac{\sin \alpha}{\alpha} \right)^2, \quad I_0 = A_0^2, \alpha = \frac{\pi a \sin \theta}{\lambda}\end{aligned}$$

其中， $A_0$  代表一系列振动小矢量取向一致时的合成振幅。

衍射积分法



§ 4. (c) 衍射积分法

单缝夫琅禾费衍射场也可以由傍轴衍射积分公式求得：

$$\tilde{U}(P)=\frac{-i}{\lambda r_0}\iint\tilde{U}_0(Q)e^{ikr}\mathrm{d}S$$

经透镜变换，振幅系数：

$$\frac{1}{r_0}\rightarrow\frac{1}{f}$$

平行光正入射：

$$\tilde{U}_0(x_0)=A$$

积分面元：

$$\mathrm{d}S=b\mathrm{d}x_0$$

相位因子  $e^{ikr}$ ：

$$\begin{aligned}kr&=\frac{k}{n}\cdot nr\\&=k_0L\\&=k_0(L-L_0)+k_0L_0\\&=-k_0nx_0\sin\theta+k_0L_0\\&=-kx_0\sin\theta+k_0L_0\end{aligned}$$

其中， $L_0$  是坐标原点  $O$  出发沿  $\theta$  方向到达场点  $P$  的光程  $L_0(OP)$ ，作为参考光程。

综上，衍射积分式可以表示为：

$$\begin{aligned}
\tilde{U}(\theta) &= \frac{-i}{\lambda r_0} \iint \tilde{U}_0(Q) e^{ikr} dS \\
&= \frac{-i}{\lambda f} \int_{x_0=-a/2}^{x_0=a/2} A \cdot e^{i(-kx_0 \sin \theta + k_0 L_0)} \cdot b dx_0 \\
&= \frac{-i}{\lambda f} A b e^{ik_0 L_0} \int_{x_0=-a/2}^{x_0=a/2} e^{-ikx_0 \sin \theta} dx_0 \\
&= \frac{-i}{\lambda f} A b e^{ik_0 L_0} \cdot \frac{2 \sin(\frac{a}{2} k \sin \theta)}{k \sin \theta} \\
&= \frac{-i}{\lambda f} (ab) A e^{ik_0 L_0} \cdot \frac{\sin(\frac{a}{2} k \sin \theta)}{\frac{a}{2} k \sin \theta} \\
&= \frac{-i}{\lambda f} (ab) A e^{ik_0 L_0} \cdot \frac{\sin(\frac{a}{2} \frac{2\pi}{\lambda} \sin \theta)}{\frac{a}{2} \frac{2\pi}{\lambda} \sin \theta} \\
&= \frac{-i}{\lambda f} (ab) A e^{ik_0 L_0} \cdot \frac{\sin(\frac{\pi a \sin \theta}{\lambda})}{\frac{\pi a \sin \theta}{\lambda}} \\
&= \frac{-i}{\lambda f} (ab) A \cdot \frac{\sin \alpha}{\alpha}, \quad \alpha = \frac{\pi a \sin \theta}{\lambda} \\
&= \boxed{\tilde{c} e^{ik_0 L_0} \cdot \frac{\sin \alpha}{\alpha}}, \quad \tilde{c} = \frac{-i}{\lambda f} (ab) A, \quad \alpha = \frac{\pi a \sin \theta}{\lambda}
\end{aligned}$$

光强分布为：

$$\begin{aligned}
I(\theta) &= \tilde{U} \tilde{U}^* \\
&= I_0 \left( \frac{\sin \alpha}{\alpha} \right)^2
\end{aligned}$$

其中，

$$\begin{aligned}
\tilde{c} &= \frac{-i}{\lambda f} (ab) A, \quad I_0 = \tilde{c} \tilde{c}^* = \frac{(ab)^2}{(\lambda f)^2} A^2, \quad \alpha = \frac{\pi a \sin \theta}{\lambda} \\
A(\theta) &= A_0 \frac{\sin \alpha}{\alpha}, \quad \alpha = \frac{\pi a \sin \theta}{\lambda}
\end{aligned}$$

## 单缝夫琅禾费衍射的主要特征

### (1) 最大值

$$I(\theta) = I_0 \frac{\sin(\frac{\pi a \sin \theta}{\lambda})}{\frac{\pi a \sin \theta}{\lambda}}$$

当  $\theta = 0$  时， $I(\theta)$  取最大值  $I(0) = I_0$ ，称为零级衍射峰。可以看出， $I_0$  的物理就是零级衍射峰的光强。

### (2) 零点位置

$$I(\theta) = I_0 \frac{\sin(\frac{\pi a \sin \theta}{\lambda})}{\frac{\pi a \sin \theta}{\lambda}}$$

当：

$$\frac{\pi a \sin \theta}{\lambda} = j\pi, \quad j = \pm 1, \pm 2, \dots$$

时，即：

$$a \sin \theta = j\lambda, \quad j = \pm 1, \pm 2, \dots$$

时， $I(\theta) = 0$ ，出现暗点。上式称为单缝衍射零点条件。

### (3) 次极大

在相邻两个零点之间存在一个极大值

### (4) 半角宽度 $\Delta\theta_0$

零级衍射峰的半角宽度，记为  $\Delta\theta_0$ ，定义为由零级衍射峰与其邻近暗点之间的角方位之差，即：

$$\Delta\theta_0 \equiv \theta_1 - \theta_0$$

其中,  $\theta_0 = 0$ ,  $\theta$  满足单缝衍射零点条件:

$$a \sin \theta_1 = 1 \cdot \lambda \implies \theta_1 \approx \sin \theta_1 = \frac{\lambda}{a}$$

于是:

$$\Delta \theta_0 = \frac{\lambda}{a}$$

半角宽度也叫衍射发散角。

(5) 单缝宽度的影响

单缝宽度  $a$  影响半角宽度  $\Delta \theta_0$ , 也影响零级衍射峰光强  $I_0$

$$\Delta \theta_0 = \frac{\lambda}{a}$$

单缝宽度  $a$  越小, 半角宽度  $\Delta \theta_0$  越大, 这意味着衍射波更加发散。

$$I_0 = \frac{(ab)^2}{(\lambda f)^2} A^2$$

单缝宽度  $a$  越小, 零级衍射峰光强  $I_0$  也越小。

(6) 波长的影响

波长  $\lambda$  影响半角宽度  $\Delta \theta_0$ , 也影响零级衍射峰光强  $I_0$

$$\Delta \theta_0 = \frac{\lambda}{a}$$

波长  $\lambda$  越大, 半角宽度  $\Delta \theta_0$  也越大, 这就是说长波衍射效应更强烈。

$$I_0 = \frac{(ab)^2}{(\lambda f)^2} A^2$$

波长  $\lambda$  越大, 零级衍射峰光强  $I_0$  越小。

(7) 关于参考光程决定的相因子

参考光程相因子  $e^{ik_0 L_0}$  是场点  $P$  的函数, 应当明确表示为  $e^{ik_0 L_0(P)}$

衍射反比律

$$\rho \cdot \Delta \theta \approx \lambda$$

其中,  $\rho$  是限制波前的光孔在某方向的几何线度,  $\Delta \theta$  是衍射发散角。

圆孔夫琅禾费衍射

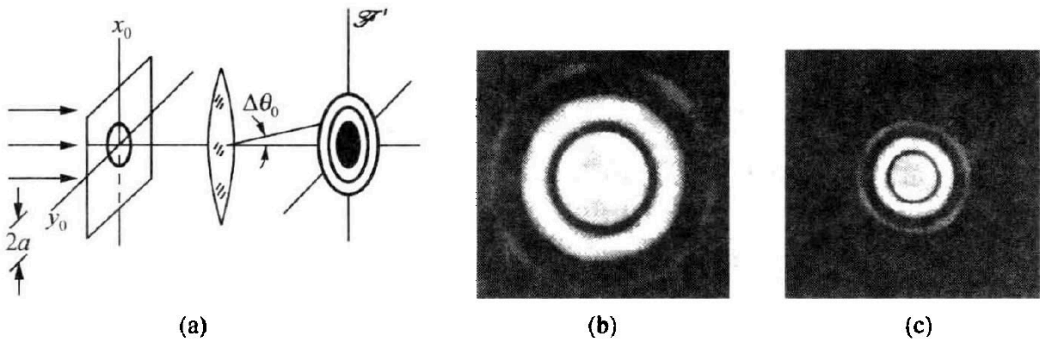


图 2.56 圆孔夫琅禾费衍射。(a) 实验装置,(b) 艾里斑(孔径 0.5 mm),(c) 艾里斑(孔径 1.0 mm)

$$\tilde{U}(\theta) = \tilde{c} e^{ik_0 L_0} \cdot 2 \frac{J_1(x)}{x}$$
$$I(\theta) = I_0 \left( \frac{2J_1(x)}{x} \right)^2$$



其中，

$$x=\frac{2\pi a\sin\theta}{\lambda},\ I_0=\frac{(\pi a^2)^2}{(\lambda f)^2}A^2$$

其中， $a$  是圆孔半径， $J_1(x)$  是一阶贝塞尔函数。

中心的那个亮斑称为**艾里斑**， $I_0$  是艾里斑中心强度。

一阶贝塞尔函数的第一个零点  $x_0$  的位置为：

$$x_0=1.22\pi$$

于是第一个暗环的角方位  $\theta_{10}$  应满足：

$$\frac{2\pi a\sin\theta_{10}}{\lambda}=1.22\pi$$

圆孔直径记为  $D$ ， $D=2a$ ，于是：

$$\sin\theta_{10}=1.22\frac{\lambda}{D}$$

艾里斑的半角宽度：

$$\Delta\theta_0=\theta_{10}\approx1.22\frac{\lambda}{D}$$

或写为：

$D\Delta\theta_0\approx1.22\lambda$

瑞利判据

两个物点反映在像面上有两个艾里斑，设这两个艾里斑中心之角间隔为  $\delta\theta$ ，每个艾里斑自身有个半角宽度  $\Delta\theta_0$ ，瑞利提出的判据为：

$$\begin{aligned}\delta\theta > \Delta\theta_0 &\text{时，可分辨;} \\ \delta\theta < \Delta\theta_0 &\text{时，不可分辨} \\ \delta = \Delta\theta_0 &\text{时，给出可分辨的最小角间隔}\delta_m\end{aligned}$$

瑞利判据规定，当一个像斑中心恰好落在另一像斑边缘暗环时，确认两个像斑刚好可以分辨。

位移-相移定理

在一个夫琅禾费衍射系统中，当一图像位移时，其夫琅禾费衍射场将响应一个相移，两者的定量关系为：

$$\begin{aligned}\text{位移}(x_0,y_0) &\Leftrightarrow \text{相移}(\delta_1,\delta_2) \\ \delta_1 &= -kx_0\sin\theta_1 \\ \delta_2 &= -ky_0\sin\theta_2\end{aligned}$$

其中， $\theta_1,\theta_2$  标定了夫琅禾费衍射场点的位置。

有序结构的夫琅禾费衍射场

设一衍射屏含  $N$  个全同单元，它们取向有序但不一定规则排列，设其中心单元产生的夫琅禾费场为  $\tilde{u}_0(\theta_1,\theta_2)$ ，其他单元相对中心单元的位移矢量分别为  $\vec{r}_j=(x_j,y_j)$ ，由位移-相移定理，相应的夫琅禾费场的相移量分别为：

$$\begin{aligned}\delta_{1j} &= -kx_j\sin\theta_1 \\ \delta_{2j} &= -ky_j\sin\theta_2\end{aligned}$$

于是这有序结构产生的夫琅禾费场的组成为：

$$\begin{cases}\tilde{u}_0(\theta_1,\theta_2), \\ \tilde{u}_1(\theta_1,\theta_2)=\tilde{u}_0\cdot e^{\mathrm{i}(\delta_{11}+\delta_{21})}, \\ \tilde{u}_2(\theta_1,\theta_2)=\tilde{u}_0\cdot e^{\mathrm{i}(\delta_{12}+\delta_{22})}, \\ \tilde{u}_3(\theta_1,\theta_2)=\tilde{u}_0\cdot e^{\mathrm{i}(\delta_{13}+\delta_{23})}, \\ \vdots\end{cases}$$

根据波叠加原理，我们得到  $N$  个全同单元的有序结构产生的夫琅禾费衍射场的一般表达式为：

$$\tilde{U}(\theta_1, \theta_2) = \sum_{i=0}^{(N-1)} \tilde{u}_i = \tilde{u}_0 \sum_{i=0}^{N-1} e^{i(\delta_{1i} + \delta_{2i})}$$

上式中规定,  $\delta_{10} = \delta_{20} = 0$

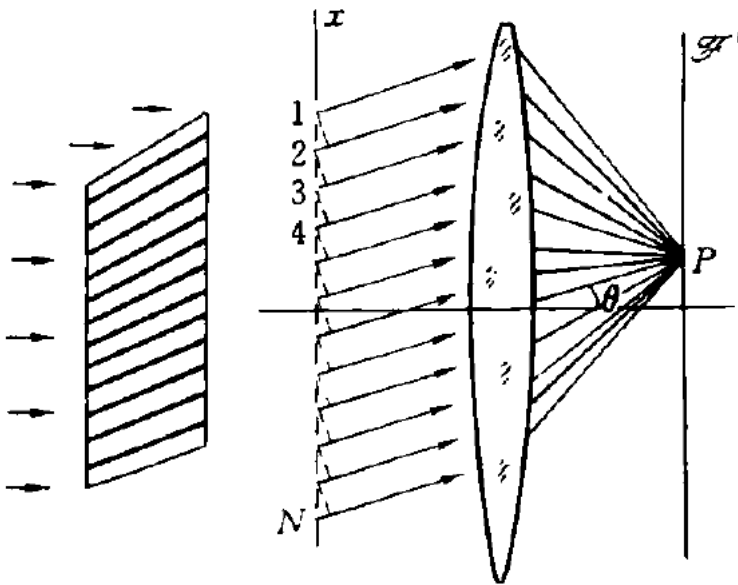
上式可以改写为:

$$\tilde{U}(\theta_1, \theta_2) = \tilde{u}_0(\theta_1, \theta_2) \cdot \tilde{S}(\theta_1, \theta_2)$$

$$\tilde{S}(\theta_1, \theta_2) = \sum_{i=0}^{N-1} e^{i(\delta_{1i} + \delta_{2i})}$$

其中,  $\tilde{u}_0$  为单元衍射因子, 简称其为**单元因子**或**形状因子**;  $\tilde{S}(\theta_1, \theta_2)$  为单元之间的干涉因子, 简称为**结构因子**或**分布因子**。

## 一维光栅衍射



(a) 多缝光栅 (b) 光程递增  $\Delta r = d \sin \theta$

光栅定义: 凡含众多全同单元, 且排列规则、取向有序的周期结构, 统称为光栅 (grating)

设一个一维多缝光栅透光的缝宽为  $a$ , 挡光的缝宽为  $b$ , 光栅的空间周期  $d$  定义为  $a + b$ , 亦称为**光栅常数**。单元密度定义为  $\frac{1}{d}$ , 光栅的有效长度记为  $D$ , 则这块光栅含单元总数为:

$$N = \frac{D}{d}$$

## 一维光栅的单元因子

一维光栅的基本单元就是宽度为  $a$ , 长度为  $b$  的狭缝, 其单元因子为:

$$\tilde{u}_0 = \tilde{c} e^{ik_0 L_0} \cdot \frac{\sin \alpha}{\alpha}$$

## 一维光栅的结构因子

自上而下将  $N$  个单元依次编号为  $1, 2, \dots, N$ . 对于一位光栅, 单元的位移仅沿  $x$  方向, 相邻单元之间的位移量恒为  $d$ , 相应的夫琅禾费场的相移量依次为  $\delta = kd \sin \theta$ , 于是, 一位光栅夫琅禾费衍射场的结构因子为:

$$\begin{aligned} \tilde{S}(\theta) &= \sum_{i=1}^N (1 + e^{i\delta} + e^{i(2\delta)} + e^{i(3\delta)} + \dots + e^{i(N-1)\delta}) \\ &= \frac{1 - e^{iN\delta}}{1 - e^{i\delta}}, \quad \delta = kd \sin \theta \end{aligned}$$

利用公式:

$$1 - e^{i\varphi} = -2i \sin\left(\frac{\varphi}{2}\right) \cdot e^{i(\frac{\varphi}{2})}$$

结构因子可进一步表达为：

$$\begin{aligned}\tilde{S}(\theta) &= \frac{1 - e^{iN\delta}}{1 - e^{i\delta}} \\ &= -2i \sin\left(\frac{N\delta}{2}\right) \cdot e^{i(\frac{N\delta}{2})} \bigg/ -2i \sin\left(\frac{\delta}{2}\right) \cdot e^{i(\frac{\delta}{2})} \\ &= e^{i(N-1)\beta} \cdot \left(\frac{\sin N\beta}{\sin \beta}\right), \quad \beta = \frac{\pi d \sin \theta}{\lambda}\end{aligned}$$

于是一维光栅的夫琅禾费场为：

$$\begin{aligned}\tilde{U}(\theta) &= \tilde{u}_0(\theta) \cdot \tilde{S}(\theta) \\ &= \tilde{c} e^{ik_0 L_0} \cdot \frac{\sin \alpha}{\alpha} \cdot e^{i(N-1)\beta} \cdot \left(\frac{\sin N\beta}{\sin \beta}\right)\end{aligned}$$

把  $e^{ik_0 L_0}$  吸收到  $\tilde{c}$  中，得：

$$\tilde{U}(\theta) = \tilde{c} \left(\frac{\sin \alpha}{\alpha}\right) \cdot \left(\frac{\sin N\beta}{\sin \beta}\right) e^{i(N-1)\beta}$$

其中，

$$\alpha = \frac{\pi a \sin \theta}{\lambda}, \quad \beta = \frac{\pi d \sin \theta}{\lambda}$$

衍射强度分布为：

$$I(\theta) = \tilde{U} \tilde{U}^* = i_0 \left(\frac{\sin \alpha}{\alpha}\right)^2 \left(\frac{\sin N\beta}{\sin \beta}\right)^2$$

上式中， $i_0$  是单缝衍射零级中心即几何像点处的衍射光强， $(\sin \alpha / \alpha)^2$  称为强度单元因子， $(\sin N\beta / \sin \beta)^2$  称为强度结构因子。

**一维光栅结构因子的主要特征**

(1) 主峰（主极强位置）

$$\beta = j\pi \implies d \sin \theta_j = j\lambda, \quad j = 0, \pm 1, \pm 2, \dots$$

此时：

$$\begin{aligned}\left(\frac{\sin N\beta}{\sin \beta}\right)^2 &= N^2 \\ I(\theta_j) &= N^2 \cdot (\theta_j)\end{aligned}$$

(2) 主峰的半角宽度

第  $j$  级主峰，其左右相邻的两个暗点的位置满足：

$$d \sin(\theta_j \pm \Delta\theta) = \left(k \pm \frac{1}{N}\right)\lambda \implies d \cos \theta_j \cdot \Delta\theta = \frac{\lambda}{N}$$

第  $j$  级主峰的半角宽度：

$$\Delta\theta_j = \frac{\lambda}{Nd \cos \theta_j}$$

(3) 两个主峰之间

(4) 单元因子作用

$$d \sin \theta_j = j\lambda$$

$$a \sin \theta_{j'} = j'\lambda$$

$$\frac{j}{j'} = \frac{d}{a}$$

出现缺级现象